Énergie, Mines et Ressources Canada
Energy, Mines and Resources Canada

Commission géologique du Canada
Geological Survey of Canada

NOTES DESCRIPTIVES

Cette carte fait partie d'un ensemble de seize cartes géologiques à l'échelle du 1:50,000 (Fig. 1) qui couvrent la partie est de la ceinture du Protérozoïque inférieur de Cape Smith (Fig. 2). Les cartes furent compilées à partir des données de terrain levées par des équipes de la Commission Géologique du Canada au cours des étés 1985 à 1987. La région cartographiée (Fig. 2) est accessible par vol régulier depuis Kuujjuaq, Québec (distance de 300 km) ou bien, par vol nolisé d'hydravion, Territoires du Nord-Ouest (distance de 350 km). La roche en place affleure fréquemment et sur de grandes superficies dans la région. L'affleurement est continu dans les régions de Wakeham Bay - Burgoyne Bay et du Lac Watts - Lac Cross - Rivière Déception et discontinu (mais suffisant) dans la région du Lac Bombardier et du Lac Vicenas. L'information géologique présentée dans ce dossier public a été compilée à partir des données recueillies le long des traversées à pied espacées de moins de 2 km. Les relations stratigraphiques et structurales indiquées sur les cartes découlent directement de l'information géologique cartographiée au cours des trois étés de travaux de terrain. Par ailleurs la localisation des isogrades de métamorphisme fut déterminée suite à des travaux pétrographiques et de microsonde (Bégin et al., 1988). Le dossier public fournit le contexte de premier ordre pour tout projet d'exploration minérale dans la région (St-Onge et al., 1988) et complète le cadre géologique fournit par le MER (Québec) pour la partie ouest de la zone du Cape Smith (Lamothe, 1986).

La zone de Cape Smith, datée à ca. 1.9 Ga (R. Parrish com. pers., 1986) est une zone de plissement et de chevauchement avec direction de transport tectonique vers le sud (Hynes and Francis, 1982; Lamothe et al., 1986; Hoffman, 1985). La zone de Cape Smith est maintenant reconnue comme un pli-faille (thrust-fold belt) vergent vers l'ouest (plus précisément vers le nord-ouest structural). Les niveaux stratigraphiques supérieurs affleurent dans la région de Wakeham Bay (St-Onge et al., 1988) et les niveaux structuraux supérieurs dans la région du Lac Watts - Lac Cross (St-Onge et al., 1987). La tectonostratigraphie de la zone de Cape Smith documente l'évolution d'un rift épicontinental d'âge protérozoïque inférieur vers un domaine de croûte océanique (Hynes and Francis, 1982). Les sédiments clastiques du Groupe de Povungnituk inférieur (unités 2, 3a, 3b, et 4) identifient l'ouverture et le remplissage d'un bassin de marge de rift, bassin qui en partie repose sur une croûte continentale. Un domaine de rift épicontinental est confirmé par la similitude des laves du Groupe de Povungnituk supérieur (unité 5) avec les tholéiites continentales actuelles du point de vue de la chimie des éléments majeurs, abondance du TiO2 et proportions des éléments traces (Hynes and Francis, 1982; Francis et al., 1983). Le Groupe de Chukotat est interprété comme la phase qui, dans l'évolution magmatique de la zone de Cape Smith, a donné lieu à la formation d'une croûte océanique transitionelle. La géochimie des laves du Groupe de Chukotat varie de basalte komatiitique (unité 6) à celle de tholéiite appauvrie en Ti (unité 8) avec des compositions intermédiaires typiques d'un basalte de dorsale océanique (MORB)(Francis et al., 1983; Hynes and Francis, 1982; Francis et al., 1983). Les laves tholéitiques sont appauvries en éléments incompatibles et possèdent des éléments traces très similaires à ceux des laves de fonds marins actuels. Les nappes chevauchantes dans l'arrière-pays de la zone de Cape Smith (marge nord) comprennent les sédiments pélagiques du Groupe de Spartan (unité 13), les dykes en feuillets, les filons-couches de gabbro et les basaltes en coussins (unité 12), les cumulats mafiques (unité 10) ainsi que les cumulats ultramafiques (unité 9) du Groupe de Watts. L'ensemble des unités 8 à 13 est interprété comme étant une croûte océanique d'âge protérozoïque inférieur, tectoniquement imbriquée, métamorphosée et qui, dans la zone de chevauchement et plissement de Cape Smith constitue l'ophiolite Purtuniq (Scott et al., 1988; St-Onge et al., 1988). Le suite ophiolitique représente l'hébergement de l'évolution de la marge nord de la province du Supérieur, marge qui est passée d'un système de rift épicontinental à un domaine océanique, il y a ca. 1.9 Ga.

Les unités de rift continental, croûte transitionelle et suite ophiolitique de la zone de Cape Smith sont délimitées par trois ensembles distincts de structures (Lucas and St-Onge, 1987; St-Onge and Lucas, 1988a). Le résultat cumulatif des déformations D_1, D_2 et D_3 est de préserver la zone de plissement et de chevauchement dans un synclinorium D_2 est-ouest, à double enveloppe dû à la reprise du pli D_2 par les plis D_3 à direction nord-ouest (Fig. 2). Les structures D_1, les plus anciennes, sont des séquences de failles chevauchantes D_1 qui se rattachent au décollement de base situé au (ou près) du contact socle archéen /couverture protérozoïque (St-Onge and Lucas, 1986). Le transport de la zone de chevauchement sur le décollement de base au cours d'une ré-équilibration thermique suite à l'imbrication D_1 des unités de couverture a résulté en une zone de cisaillement de base plastique (Lucas and St-Onge, 1986). Des chevauchements D_2 désordonnés syn- et post-maximum thermique recoupent les chevauchements D_1 ordonnés, permettant un épaississement de la croûte tardi-D_1 (Lucas and St-Onge, 1988). L'incorporation d'écailles tectoniques de socle (unité 1) dans la zone de chevauchement est associée aux chevauchements D_2 désordonnés. Des plis D_2 et D_3 des unités de socle (unité 1) et de la couverture (unités 2 à 14) affectent la zone de chevauchement et sont associées à une géométrie de dômes et de bassins. La localisation des plis D_2 et D_3 sur les cartes de ce dossier public souligne l'importance de la stratification rhéologique dans le phénomène de plissement. Un exemple frappant congrend le plissement des filons-couches stratifiés de gabbro et de péridotite mis en place dans les sédiments de l'unité 3b.

Les isogrades métamorphiques dans la région cartographiée documentent la distribution des isothermes dans une croûte épaissie, d'âge protérozoïque inférieur, suite à l'imbrication D_1 (St-Onge and Lucas, 1988b). Les isogrades des faciès métamorphiques de schiste vert inférieur à amphibolite supérieur recoupent les structures anciennes D_1 dans la partie est et sud de la zone de Cape Smith (Bégin et al., 1988). En contraste, le long de la marge nord (l'arrière-pays) de la zone de Cape Smith, les zones minérales sont recoupées par des chevauchements retrogrades D_2 désordonnés. Ces failles tardives transportent des nappes chevauchantes caractérisées par des assemblages de minéraux métamorphiques retrogrades bien développés.

DESCRIPTIVE NOTES

This map is one of a series of sixteen 1:50,000 scale geological maps (Fig. 1) for the eastern Early Proterozoic Cape Smith Belt (Fig. 2). The maps were compiled from the results of field work completed by the Geological Survey of Canada during the summers of 1985 to 1987 (St-Onge et al., 1986, 1987, 1988). The Open File map area (Fig.2) is accessible by scheduled flight from Kuujjuaq, Québec (distance of 300 km) or by chartered aircraft from Ipaluit, Northwest Territories (distance of 350 km). Bedrock exposure in the mapped area is generally frequent and locally continuous in the Wakeham Bay - Burgoyne Bay and Lac Watts - Lac Cross - Rivière Déception areas and discrete in the vicinity of Lac Bombardier and Lac Vicenas. The geological data presented in this Open File was gathered during ground-level traverses at a spacing of 2 km or less. Tectono-stratigraphic and structural relationships recorded on the maps of this Open File are based directly on the geology mapped during the three summers of field work. In contrast, the position of metamorphic mineral isograds was determined by follow-up petrographic and microprobe work (Bégin et al., 1988). The Open File maps provide first-order constraints for future mineral exploration projects in the area (St-Onge et al., 1988) and complement those published by MER (Québec) for the western portion of the belt (Lamothe, 1986).

The ca. 1.9 Ga (R. Parrish, pers. comm., 1986) Cape Smith Belt is a thin-skinned, south-vergent thrust-fold belt (Hynes and Francis, 1982; Lamothe et al., 1986; Hoffman, 1985) which is exposed in a west-plunging oblique section (10 km of structural relief) from a structural depth of 15 km in the Wakeham Bay - Lac Cross area (St-Onge et al., 1988) to high structural levels in the Lac Watts - Lac Cross area (St-Onge et al., 1987). The tectono-stratigraphic record of the Cape Smith Belt documents the evolution of an Early Proterozoic epicontinental rift which ultimately led to formation of oceanic crust (Hynes and Francis, 1982). The continent-derived sediments of the lower Povungnituk Group (units 2, 3a, 3b and 4) record the opening and infilling of a rift margin basin, which at least in part overlies continental crust. The epicontinental rift setting for the accumulation of the Povungnituk Group is supported by the similarity of upper Povungnituk Group mafic magmas (unit 5) to modern, within-plate continental tholeiites with respect to overall major element ratios, ranges in TiO2 content and trace-element ratios (Hynes and Francis, 1982; Francis et al., 1983). The Chukotat Group is interpreted to record a phase in the magmatic evolution of the Cape Smith Belt which involved formation of transitional oceanic crust. The geochemistry of Chukotat Group mafic volcanics ranges from komatiitic basalt (unit 6) to low-Ti tholeiite (unit 8) with MORB affinities (Francis and Hynes, 1979; Hynes and Francis, 1982; Francis et al., 1983). The tholeiites are low in incompatible elements and have trace-element characteristics similar to those of modern ocean-floor basalts. Thrust sheets in the most internal (northern) part of the Cape Smith Belt carry the Spartan Group pelagic sediments (unit 13) and the Watts Group sheeted dykes, gabbroic sills and pillowed basalts (unit 12), mafic cumulates (unit 10) and ultramafic cumulates (unit 9). These units are interpreted to constitute the imbricated and metamorphosed remnants of Early Proterozoic oceanic crust, preserved in the thrust-fold belt as the Purtuniq ophiolite (Scott et al., 1988; St-Onge et al., 1988). The ophiolitic suite completes the tectono-stratigraphic record of the northern margin of the Superior craton, which evolved ca. 1.9 Ga ago from an epicontinental rift system to a true oceanic domain.

The continental-rift, transitional-crust and ophiolitic suites of the Cape Smith Belt are deformed by three temporally and geometrically distinct sets of structures (Lucas and St-Onge, 1987; St-Onge and Lucas, 1988a). The cumulative effect of the D_1, D_2 and D_3 deformation events is to preserve the belt as a synclinorium, double fold belt in an east-west-trending D_2 synclinorium, doubly-enveloped fold in a north-northwest-trending cross-fold (Fig. 2). The earliest set of D_1 structures recorded are regular sequences (piggyback-style) south-verging thrust faults which root on a basal décollement localized at or near the Archean basement - Proterozoic cover interface (St-Onge and Lucas, 1986). Transport of the thrust belt along the basal décollement during thermal relaxation following the early D_1 imbrication of the cover resulted in the growth of a ductile basal shear zone (Lucas and St-Onge, 1986). Syn- to post-thermal peak out-of-sequence thrust faults ramp through the previously assembled thrust stack to achieve late D_1 crustal thickening (Lucas and St-Onge, 1988). Incorporation of laterally discontinuous basement slices (unit 1) into the thrust belt is associated with out-of-sequence thrusting. Thick-skinned D_2 and D_3 folding of basement (unit 1) and cover (units 2 to 14) produced a dome and basin fold interference pattern. The distribution of D_2 and D_3 axial traces shown on the geological compilation maps of this Open File emphasizes the importance of rheologic layering in producing buckle folds and determining their wavelength. Examples of this phenomenon include the D_3 folds developed where large layered gabbro-peridotite sills intrude the sediments of unit 3b.

Hot-side-down metamorphic mineral isograds in the mapped area document a normal distribution of isotherms in the thickened Early Proterozoic crust following D_1 imbrication (St-Onge and Lucas, 1988b). The lower greenschist to upper amphibolite facies isograds cross-cut the early D_1 structures in the eastern and southern parts of the Cape Smith Belt (Bégin et al., 1988). In contrast, along the northern (hinterland) margin of the belt, mineral zones are truncated by the late D_2 (retrograde) out-of-sequence thrusts. Extensive overprinting retrograde mineral assemblages are developed in the hangingwall units of these late D_2 faults.

LEGEND / COLONNE TECTONOSTRATIGRAPHIQUE

Notes

1. This legend is common to all of the map sheets of this Open File. However, not all map units will appear on each map sheet / la colonne tectonostratigraphique est commune pour toutes les cartes de ce dossier publique. Par contre, toutes les unités n'apparaissent pas sur chaque carte.

2. The prefix "meta" applies to all lithologies in units 1 to 13 / le préfix "meta" s'applique à l'ensemble des lithologies dîs unités 1 à 13.

LATE PROTEROZOIC / PROTÉROZOIQUE SUPÉRIEUR

15 — Diabase / dyke de diabase

EARLY PROTEROZOIC / PROTÉROZOIQUE INFÉRIEUR

14 — Tonalite / tonalite

Spartan Group / Groupe de Spartan

13 — Graphitic pelite; semipelite; sandstone, gabbro / phyllade à graphite; siltstone; grès gabbro

Watts Group / Groupe de Watts

12 — Basalt; gabbro sills; sheeted gabbroic dykes / basalte; filons-couches et dykes en feuillets de gabbro

11 — Pyroxenite / pyroxénite

10 — Layered gabbro / gabbro stratifié

9 — Layered peridotite / péridotite stratifiée

Chukotat Group / Groupe de Chukotat

8 — Dominantly plagioclase-phyric basalt; gabbro / principalement basalte à phénocristaux de plagioclases; gabbro

7 — Dominantly pyroxene-phyric basalt; gabbro / principalement basalte à phénocristaux de pyroxènes; gabbro

6 — Dominantly olivine-phyric basalt; gabbro; peridotite; layered peridotite-gabbro sills / principalement basalte à phénocristaux d'olivine; gabbro; péridotite; filons-couches stratifiés péridotite-gabbro

Povungnituk Group / Groupe de Povungnituk

5 — Basalt; volcaniclastic sediment; rhyolite; minor semipelite and sandstone; gabbro; peridotite; layered peridotite-gabbro sills / basalte; volcaniclastite; rhyolite; quantité mineure de siltstone et grès; gabbro; péridotite; filons-couches stratifiés péridotite-gabbro

4 — Micaceous sandstone / grès micacé

3c — Basalt; volcaniclastic sediment; minor sandstone, dolomite and calcisiltstone; gabbro; peridotite; layered peridotite-gabbro sills / basalte; volcaniclastite; quantité mineure de grès, dolomie et calcisiltstone; gabbro; péridotite; filons-couches stratifiés péridotite-gabbro

3b — Semipelite; pelite; micaceous sandstone; sandstone; conglomerate; ironstone; dolomite; calcisiltstone; minor basalt and volcaniclastic sediments; gabbro; peridotite; layered peridotite-gabbro sills / siltstones; phyllades; grès micacés; grès; conglomérat; sédiments ferrugineux; dolomie; calcisiltstone; quantité mineure de basalte et volcaniclastites; gabbro; péridotite; filons-couches stratifiés péridotite-gabbro

3a — Ironstone; minor sandstone and semipelite / sédiments ferrugineux; quantité mineure de grès et siltstone

2 — Sandstone; ironstone; conglomerate / grès; sédiments ferrugineux; conglomérat

ARCHEAN / ARCHÉEN

1 — Tonalite gneiss; granodiorite gneiss; granite gneiss; minor amphibolite / gneiss tonalitiques; gneiss granodioritiques; gneiss granitiques; quantité mineure d'amphibolite

SYMBOLS / SYMBOLES

Lithologies / lithologies

- Pelite / phyllade
- Semipelite / siltstone
- Micaceous sandstone / grès micacé
- Conglomerate /conglomérat
- Dolomite / dolomie
- Calcisiltstone / calcisiltstone
- Sandstone / grès
- Dolomitic sandstone / grès dolomitique
- Basalt / basalte
- Layered gabbro / gabbro stratifié
- Sheeted gabbroic dykes / dykes de gabbro en feuillets
- Volcanic breccia / brèche volcanique
- Pillowed flow / coulée coussinée
- Plagioclase-phyric basalt / basalte à phénocristaux de plagioclase
- Pyroxene-phyric basalt / basalte à phénocristaux de pyroxène
- Olivine-phyric basalt / basalte à phénocristaux d'olivine
- Rhyolite / rhyolite
- Plagiogranite / plagiogranite
- Volcaniclastic sediment / volcaniclastite
- Dolomitic volcaniclastic sediment / volcaniclastite dolomitique
- Magnetite-bearing ironstone / sédiments ferrugineux avec magnétite
- Grunerite-garnet schist / schiste métamorphique avec grunérite et grenat
- Grunerite-dolomite schist / schiste métamorphique avec grunérite et dolomite
- Tonalite / tonalite
- Granite / granite
- Granodiorite / granodiorite
- Amphibolite xenoliths / xénolites d'amphibolite
- Disrupted gneiss / gneiss chaotique
- Straight gneiss / gneiss régulier
- Fe — Rusty, iron-stained / ferrugineux
- Gabbro / gabbro
- Peridotite / péridotite
- Pyroxenite / pyroxénite
- Layered peridotite / péridotite stratifiée
- Pyroxenite in layered gabbro / pyroxénite dans le gabbro stratifié

Boundaries / contacts

- Geological boundary (defined, approximate) /contact géologique (certain, probable)
- D_1 thrust fault / faille de chevauchement D_1
- Oblique-slip fault / faille avec décrochement oblique

Structure /structure

- Bedding, tops known (inclined) / stratification, sommet déterminé (incliné)
- Gneissosity (Archean) / gneissosité (archéenne)
- D_1 schistosity (inclined) / schistosité D_1 (inclinée)
- D_1 stretching lineation / linéation d'allongement D_1
- D_1 syncline / synclinal D_1
- D_1 anticline / anticlinal D_1
- D_2 schistosity (inclined) / schistosité D_2 (inclinée)
- D_2 minor-fold hinge (N - northward fold vergence, S - southward fold vergence, M - symmetric fold) / charnière de pli secondaire D_2 (N - vergence à direction nord, S - vergence à direction sud, M - pli symétrique)
- D_2 synform / synforme D_2
- D_2 antiform / antiforme D_2
- D_3 schistosity (inclined) / schistosité D_3 (inclinée)
- D_3 minor-fold hinge (E - eastward fold vergence, W - westward fold vergence) / charnière de pli secondaire D_3 (E - vergence à direction est, W - vergence à direction ouest)
- D_3 synform / synforme D_3
- D_3 antiform / antiforme D_3

Isograds / isogrades

- hornblende-in / apparition de la hornblende
- oligoclase-in / apparition de l'oligoclase
- actinolite-out / élimination de l'actinote
- garnet or clinopyroxene-in / apparition du grenat ou du clinopyroxene

Geology by / géologie par: M.R. St-Onge 1985-1987; S.B. Lucas 1985-1987; D.J. Scott 1985-1987; N.J. Bégin 1985-1987

Compilation by / compilation par: M.R. St-Onge 1985-1988; S.B. Lucas 1985-1988; D.J. Scott 1985-1988

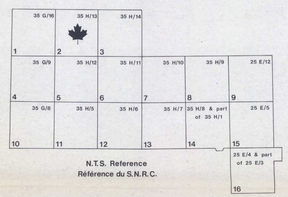

Figure 1. National Topographic System reference and index to Geological Survey of Canada maps / référence cartes du Système National de Référence Cartographique et index des cartes de la Commission Géologique du Canada.

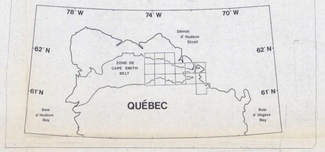

Figure 2. Location of Geological Survey of Canada maps in the eastern portion of the Cape Smith Belt, northern Quebec / localisation des cartes de la Commission Géologique du Canada dans la partie est de la zone de Cape Smith, Québec.

REFERENCES / RÉFÉRENCES

Bégin, N.J., Lucas, S.B. and Carmichael, D.M.
1988: Thermal and tectonic significance of mineral isograds in mafic rocks of the Cape Smith Belt, northern Quebec; in Program with Abstracts, Geological Association of Canada, v. 13.

Francis, D.M. and Hynes, A.J.
1979: Komatiite-derived tholeiites in the Proterozoic of New Quebec, Earth and Planetary Science Letters, v. 44, p. 473-481.

Francis, D.M., Ludden, J. and Hynes, A.J.
1983: Magma evolution in a Proterozoic rifting environment; Journal of Petrology, v. 24, Part 4, p. 556-582.

Hoffman, P.F.
1985: Is the Cape Smith Belt (northern Quebec) a klippe?; Canadian Journal of Earth Sciences, v. 22, p. 1361-1369.

Hynes, A.J. and Francis, D.M.
1982: A transect of the early Proterozoic Cape Smith foldbelt, New Quebec; Tectonophysics, v. 84, p. 23-39.

Lamothe, D.
1986: Développements récents dans la Fosse de l'Ungava; in Exploration en Ungava: données récentes sur la géologie et la géologie, ed. D. Lamothe, B. Gagnon and T. Clark, Ministère de l'Energie et des Ressources, Québec, DV 86-16, p. 1-6.

Lamothe, D., Picard, C. and Moorhead, J.
1986: Région du Lac Beauparlant, Bande de Cap Smith - Maricourt, Nouveau Québec; Ministère de l'Energie et des Ressources du Québec, DP84-8, échelle 1:50,000.

Lucas, S.B. and St-Onge, M.R.
1986: Structural and thermal evolution of the basal shear zone in the early Proterozoic Cape Smith thrust-fold belt, Quebec; in Program with Abstracts, Geological Association of Canada, v. 11, p. 96.

Lucas, S.B. and St-Onge, M.R.
1987: Structural and thermal evolution of a 1.9 Ga thrust-fold belt: Cape Smith Belt, northern Quebec; in Program with Abstracts, Geological Association of Canada, v. 12, p. 68.

Lucas, S.B. and St-Onge, M.R.
1988: Geometrical and mechanical evolution of the Cape Smith Belt: implications for the origin of out-of-sequence faults; in Program with Abstracts, Geological Association of Canada, v. 13.

Scott, D.J., St-Onge, M.R., Lucas, S.B. and Heinstaedt, H.
1988: Purtuniq ophiolite: Oceanic crust preserved in the ca. 1.9 Ga Cape Smith Thrust-Fold Belt, northern Quebec; in Program with Abstracts, Geological Association of Canada, v. 13.

St-Onge, M.R. and Lucas, S.B.
1986: Eastern Cape Smith Belt: imbrication, symmetamorphic deformation and uplift of an early Proterozoic thrust-fold belt in northern Quebec; in Program with Abstract, Geological Association of Canada, v. 11, p. 132.

St-Onge, M.R. and Lucas, S.B.
1988a: Structural and thermal history of a 1.9 Ga thrust-fold belt, Cape Smith Belt, northern Quebec; in The Early Proterozoic Trans-Hudson Orogeny: Lithotectonic Correlations and Evolution, ed. J.F. Lewry and M.R. Stauffer, Geological Association of Canada Special Paper, in press.

St-Onge, M.R. and Lucas, S.B.
1988b: Thermal history of the 1.9 Ga Cape Smith Thrust-Fold Belt: Application of 1-D thermal models and P-T determinations; in Programs with Abstracts, Geological Association of Canada, v. 13.

St-Onge, M.R.; Lucas, S.B., Scott, D.J. and Bégin, N.J.
1986: Eastern Cape Smith Belt: an early Proterozoic thrust-fold belt and basal shear zone exposed in oblique section, Wakeham Bay and Cratère du Nouveau Québec map areas, northern Quebec; in Current Research, Part A, Geological Survey of Canada, Paper 86-1A, p. 1-14.

St-Onge, M.R., Lucas, S.B., Scott, D.J. and Bégin, N.J.
1987: Tectonostratigraphy and structure of the Lac Watts - Lac Cross - Rivière Déception area, Central Cape Smith Belt, northern Quebec; in Current Research, Part A, Geological Survey of Canada, Paper 87-1A, p. 619-632.

St-Onge, M.R., Lucas, S.B., Scott, D.J., Bégin, N.J., Heinstaedt, H. and Carmichael, D.M.
1988: Thin-skinned imbrication and subsequent thick-skinned folding of rift-facies, transitional-crust and ophiolite suites in the 1.9 Ga Cape Smith Belt, northern Quebec; in Current Research, Part C, Geological Survey of Canada, Paper 88-1C, p. 1-18.

FEUILLE 2 DE 16 / SHEET 2 OF 16
GÉOLOGIE / GEOLOGY

SECTEUR ORIENTAL DE LA ZONE DE CHEVAUCHEMENT ET DE PLISSEMENT DU CAPE SMITH; PARTIE DES CARTES DE WAKEHAM BAY, CRATÈRE DU NOUVEAU-QUÉBEC ET NUVILIK LAKES, QUÉBEC SEPTENTRIONAL

EASTERN PORTION OF THE CAPE SMITH THRUST-FOLD BELT; PARTS OF THE WAKEHAM BAY, CRATÈRE DU NOUVEAU-QUÉBEC AND NUVILIK LAKES MAP AREAS, NORTHERN QUÉBEC

Échelle 1/50 000 - Scale 1:50 000

Kilomètres — Kilometres

Projection transverse universelle de Mercator
Universal Transverse Mercator Projection

© Droits de la Couronne réservés
© Crown Copyrights reserved

Notation bibliographique conseillée

St-Onge, M.R., Lucas, S.B., Scott, D.J. and Bégin, N.J.
1988: Géologie, secteur oriental de la zone de chevauchement et plissement du Cape Smith; partie des cartes de Wakeham Bay, Cratère du Nouveau-Québec et Nuvilik Lakes, Québec septentrional; Commission géologique du Canada, Dossier public 1730, échelle 1/50 000, 16 cartes.

Recommended Citation

St-Onge, M.R., Lucas, S.B., Scott, D.J. and Bégin, N.J.
1988: Geology, eastern portion of the Cape Smith Thrust-Fold Belt, parts of the Wakeham Bay, Cratère du Nouveau-Québec and Nuvilik Lake map areas, northern Quebec; Geological Survey of Canada, Open File 1730, 1:50,000 scale, 16 maps.

OPEN FILE
DOSSIER PUBLIC
1730
GEOLOGICAL SURVEY OF CANADA
COMMISSION GÉOLOGIQUE DU CANADA
OTTAWA
1988

FEUILLE 2 DE 16 / SHEET 2 OF 16

GEOLOGICAL SURVEY — COMMISSION GÉOLOGIQUE — 1842 — INDEX MAP — LIEU DE LA CARTE

Canada

This map has been produced from a scanned version of the original map
Reproduction par numérisation d'une carte sur papier